

$0 \leq v \leq 2\pi$ . Dê sua resposta com precisão de quatro casas decimais.

**57.** Determine a área exata da superfície  $z = 1 + 2x + 3y + 4y^2$ ,  $1 \leq x \leq 4$ ,  $0 \leq y \leq 1$ .

**58.** (a) Determine, mas não calcule, a integral dupla da área da superfície com as equações paramétricas  $x = au \cos v$ ,  $y = bu \sin v$ ,  $z = u^2$ ,  $0 \leq u \leq 2$ ,  $0 \leq v \leq 2\pi$ .

(b) Elimine os parâmetros para mostrar que a superfície é um parabolóide elíptico e escreva outra integral dupla que forneça sua área.



(c) Use as equações paramétricas da parte (a) com  $a = 2$  e  $b = 3$  para traçar o gráfico da superfície.



(d) Para o caso  $a = 2$ ,  $b = 3$ , use um sistema de computação algébrica para achar a área da superfície com precisão de quatro casas decimais.

**59.** (a) Mostre que as equações paramétricas  $x = a \sin u \cos v$ ,  $y = b \sin u \sin v$ ,  $z = c \cos u$ ,  $0 \leq u \leq \pi$ ,  $0 \leq v \leq 2\pi$ , representam um elipsoide.



(b) Use as equações paramétricas da parte (a) para traçar o gráfico do elipsoide para o caso  $a = 1$ ,  $b = 2$ ,  $c = 3$ .

(c) Determine, mas não calcule, uma integral dupla que dá a área de superfície da parte do elipsoide da parte (b).

**60.** (a) Mostre que as equações paramétricas  $x = a \cosh u \cos v$ ,  $y = b \cosh u \sin v$ ,  $z = c \sinh u$  representam um hiperbolóide de uma folha.

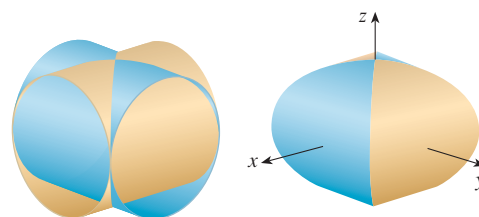


(b) Use as equações paramétricas da parte (a) para traçar o gráfico do hiperbolóide para o caso  $a = 1$ ,  $b = 2$ ,  $c = 3$ .

(c) Determine, mas não calcule, a integral dupla que dá a área de superfície da porção do hiperbolóide da parte (b) que está entre os planos  $z = -3$  e  $z = 3$ .

**61.** Encontre a área da parte da esfera  $x^2 + y^2 + z^2 = 4z$  que está dentro do parabolóide  $z = x^2 + y^2$ .

**62.** A figura mostra a superfície criada quando o cilindro  $y^2 + z^2 = 1$  intercepta o cilindro  $x^2 + z^2 = 1$ . Encontre a área desta superfície.

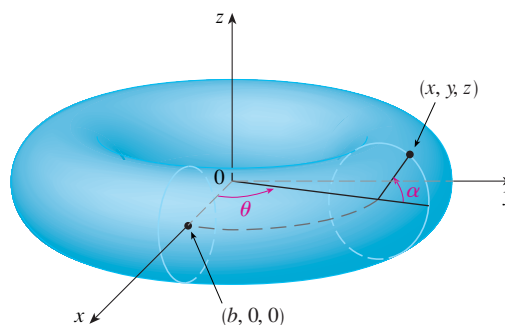


**63.** Encontre a área da parte da esfera  $x^2 + y^2 + z^2 = a^2$  que está dentro do cilindro  $x^2 + y^2 = ax$ .

**64.** (a) Determine a representação parametrizada do toro obtido ao girar pelo eixo  $z$  o círculo no plano  $xz$  com centro  $(b, 0, 0)$  e raio  $a < b$ . [Dica: Tome-se como parâmetros os ângulos  $\theta$  e  $\alpha$  mostrados na figura.]

(b) Use as equações paramétricas encontradas na parte (a) para traçar o gráfico do toro para diversos valores de  $a$  e  $b$ .

(c) Use a representação parametrizada da parte (a) para achar a área do toro.



## 16.7 Integrais de Superfície

A relação entre integral de superfície e área de superfície é semelhante àquela entre a integral de linha e o comprimento de arco. Suponha que  $f$  seja uma função de três variáveis cujo domínio inclui uma superfície  $S$ . Definiremos a integral de superfície de  $f$  sobre  $S$  de tal forma que, no caso em que  $f(x, y, z) = 1$ , o valor da integral de superfície seja igual à área da superfície de  $S$ . Começamos com superfícies parametrizadas e trataremos em seguida o caso especial onde  $S$  é o gráfico de uma função de duas variáveis.

### Superfícies parametrizadas

Suponha que a superfície  $S$  tenha equação vetorial

$$\mathbf{r}(u, v) = x(u, v) \mathbf{i} + y(u, v) \mathbf{j} + z(u, v) \mathbf{k} \quad (u, v) \in D$$

Vamos admitir inicialmente que o domínio dos parâmetros  $D$  seja um retângulo e vamos dividi-lo em sub-retângulos  $R_{ij}$  com dimensões  $\Delta u$  e  $\Delta v$ . Então, a superfície  $S$  é dividida em retalhos correspondentes  $S_{ij}$ , como na Figura 1. Calculamos  $f$  em um ponto  $P_{ij}^*$  de cada retalho, multiplicamos pela área  $\Delta S_{ij}$  do retalho e formamos a soma de Riemann

$$\sum_{i=1}^m \sum_{j=1}^n f(P_{ij}^*) \Delta S_{ij}$$

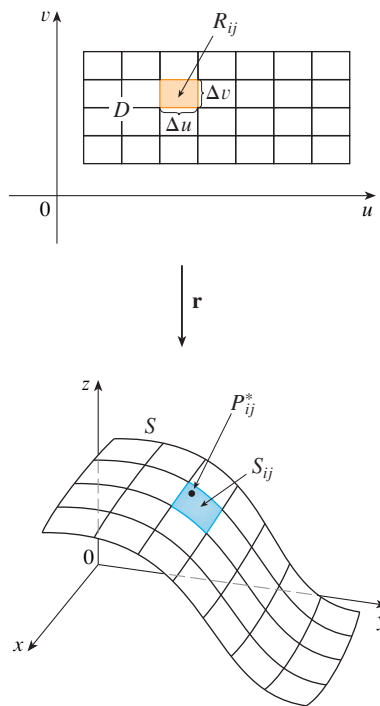


FIGURA 1

Nós assumimos que a superfície é coberta apenas uma vez quando  $(u, v)$  varia ao longo de  $D$ . O valor do integral de superfície não depende da parametrização usada.

A seguir, tomamos o limite quando o número de retalhos aumenta e definimos a **integral de superfície de  $f$  na superfície  $S$**  como

1

$$\iint_S f(x, y, z) \, dS = \lim_{m, n \rightarrow \infty} \sum_{i=1}^m \sum_{j=1}^n f(P_{ij}^*) \Delta S_{ij}$$

Observe a analogia com a definição de integral de linha (16.2.2) e também a analogia com a definição de integral dupla (15.1.5).

Para calcularmos a integral de superfície na Equação 1, aproximamos a área do retalho  $\Delta S_{ij}$  pela área de um paralelogramo aproximador no plano tangente. Em nossa discussão sobre a área de superfície na Seção 16.6, fizemos a aproximação

$$\Delta S_{ij} \approx |\mathbf{r}_u \times \mathbf{r}_v| \Delta u \Delta v$$

onde

$$\mathbf{r}_u = \frac{\partial x}{\partial u} \mathbf{i} + \frac{\partial y}{\partial u} \mathbf{j} + \frac{\partial z}{\partial u} \mathbf{k} \quad \mathbf{r}_v = \frac{\partial x}{\partial v} \mathbf{i} + \frac{\partial y}{\partial v} \mathbf{j} + \frac{\partial z}{\partial v} \mathbf{k}$$

são os vetores tangentes em um canto de  $S_{ij}$ . Se as componentes são contínuas e  $\mathbf{r}_u$  e  $\mathbf{r}_v$  são não nulos e não paralelos no interior de  $D$ , pode ser mostrado, da Definição 1, mesmo quando  $D$  não é retangular, que

2

$$\iint_S f(x, y, z) \, dS = \iint_D f(\mathbf{r}(u, v)) |\mathbf{r}_u \times \mathbf{r}_v| \, dA$$

Compare com a fórmula para a integral de linha:

$$\int_C f(x, y, z) \, ds = \int_a^b f(\mathbf{r}(t)) |\mathbf{r}'(t)| \, dt$$

Observe também que

$$\iint_S 1 \, dS = \iint_D |\mathbf{r}_u \times \mathbf{r}_v| \, dA = A(S)$$

A Fórmula 2 permite calcular uma integral de superfície, convertendo-a em uma integral dupla sobre o domínio do parâmetro  $D$ . Ao usar essa fórmula, lembre-se de que  $f(\mathbf{r}(u, v))$  é avaliado ao escrever  $x = x(u, v)$ ,  $y = y(u, v)$  e  $z = z(u, v)$  na fórmula  $f(x, y, z)$ .

**EXEMPLO 1** Calcule a integral de superfície  $\iint_S x^2 \, dS$ , onde  $S$  é a esfera unitária  $x^2 + y^2 + z^2 = 1$ .

**SOLUÇÃO** Como no Exemplo 4 da Seção 16.6, utilizamos a representação parametrizada

$$x = \sin \phi \cos \theta \quad y = \sin \phi \sin \theta \quad z = \cos \phi \quad 0 \leq \phi \leq \pi \quad 0 \leq \theta \leq 2\pi$$

isto é,  $\mathbf{r}(\phi, \theta) = \sin \phi \cos \theta \mathbf{i} + \sin \phi \sin \theta \mathbf{j} + \cos \phi \mathbf{k}$

Como no Exemplo 10 da Seção 16.6, podemos obter que

$$|\mathbf{r}_\phi \times \mathbf{r}_\theta| = \sin \phi$$

Portanto, pela Fórmula 2,

$$\begin{aligned} \iint_S x^2 \, dS &= \iint_D (\sin \phi \cos \theta)^2 |\mathbf{r}_\phi \times \mathbf{r}_\theta| \, dA \\ &= \int_0^{2\pi} \int_0^\pi \sin^2 \phi \cos^2 \theta \sin \phi \, d\phi \, d\theta = \int_0^{2\pi} \cos^2 \theta \, d\theta \int_0^\pi \sin^3 \phi \, d\phi \\ &= \int_0^{2\pi} \frac{1}{2} (1 + \cos 2\theta) \, d\theta \int_0^\pi (\sin \phi - \sin \phi \cos^2 \phi) \, d\phi \\ &= \frac{1}{2} \left[ \theta + \frac{1}{2} \sin 2\theta \right]_0^{2\pi} \left[ -\cos \phi + \frac{1}{3} \cos^3 \phi \right]_0^\pi = \frac{4\pi}{3} \end{aligned}$$

As integrais de superfície têm aplicações semelhantes àsquelas das integrais que estudamos anteriormente. Por exemplo, se uma folha fina (digamos, uma folha de alumínio) tiver a forma de uma superfície  $S$  e se a densidade (massa por unidade de área) no ponto  $(x, y, z)$  for  $\rho(x, y, z)$ , então o total da **massa** da folha será

$$m = \iint_S \rho(x, y, z) dS$$

e o **centro de massa** será  $(\bar{x}, \bar{y}, \bar{z})$ , onde

$$\bar{x} = \frac{1}{m} \iint_S x \rho(x, y, z) dS \quad \bar{y} = \frac{1}{m} \iint_S y \rho(x, y, z) dS \quad \bar{z} = \frac{1}{m} \iint_S z \rho(x, y, z) dS$$

Os momentos de inércia também podem ser definidos como antes (veja o Exercício 41).

## Gráficos

Qualquer superfície  $S$  com equação  $z = g(x, y)$  pode ser considerada uma superfície parametrizada com equações parametrizadas

$$x = x \quad y = y \quad z = g(x, y)$$

e, então, temos  $\mathbf{r}_x = \mathbf{i} + \left(\frac{\partial g}{\partial x}\right) \mathbf{k} \quad \mathbf{r}_y = \mathbf{j} + \left(\frac{\partial g}{\partial y}\right) \mathbf{k}$

de modo que

$$\mathbf{r}_x \times \mathbf{r}_y = -\frac{\partial g}{\partial x} \mathbf{i} - \frac{\partial g}{\partial y} \mathbf{j} + \mathbf{k}$$

e  $|\mathbf{r}_x \times \mathbf{r}_y| = \sqrt{\left(\frac{\partial z}{\partial x}\right)^2 + \left(\frac{\partial z}{\partial y}\right)^2 + 1}$

Logo, neste caso, a Fórmula 2 se torna

$$\iint_S f(x, y, z) dS = \iint_D f(x, y, g(x, y)) \sqrt{\left(\frac{\partial z}{\partial x}\right)^2 + \left(\frac{\partial z}{\partial y}\right)^2 + 1} dA$$

Existem fórmulas análogas para quando for mais conveniente projetar  $S$  no plano  $yz$  ou no plano  $xz$ . Por exemplo, se  $S$  for a superfície com equação  $y = h(x, z)$  e  $D$  for sua projeção no plano  $xz$ , então

$$\iint_S f(x, y, z) dS = \iint_D f(x, h(x, z), z) \sqrt{\left(\frac{\partial y}{\partial x}\right)^2 + \left(\frac{\partial y}{\partial z}\right)^2 + 1} dA$$

**EXEMPLO 2** Calcule  $\iint_S y dS$ , onde  $S$  é a superfície  $z = x + y^2$ ,  $0 \leq x \leq 1$ ,  $0 \leq y \leq 2$ . (Veja a Figura 2.)

**SOLUÇÃO** Uma vez que

$$\frac{\partial z}{\partial x} = 1 \quad \text{e} \quad \frac{\partial z}{\partial y} = 2y$$

a Fórmula 4 dá

$$\begin{aligned} \iint_S y dS &= \iint_D y \sqrt{1 + \left(\frac{\partial z}{\partial x}\right)^2 + \left(\frac{\partial z}{\partial y}\right)^2} dA \\ &= \int_0^1 \int_0^2 y \sqrt{1 + 1 + 4y^2} dy dx \\ &= \int_0^1 dx \sqrt{2} \int_0^2 y \sqrt{1 + 2y^2} dy \\ &= \sqrt{2} \left(\frac{1}{4}\right)^{\frac{2}{3}} (1 + 2y^2)^{3/2} \Big|_0^2 = \frac{13\sqrt{2}}{3} \end{aligned}$$

Se  $S$  é uma superfície suave por partes, ou seja, uma união finita de superfícies suaves  $S_1, S_2, \dots, S_n$  que se interceptam somente ao longo de suas fronteiras, então a integral de superfície de  $f$  sobre  $S$  é definida por

$$\iint_S f(x, y, z) dS = \iint_{S_1} f(x, y, z) dS + \dots + \iint_{S_n} f(x, y, z) dS$$

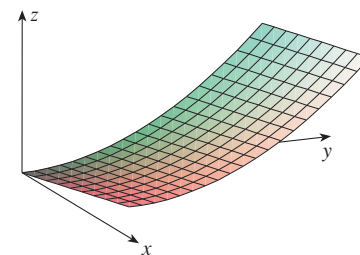


FIGURA 2

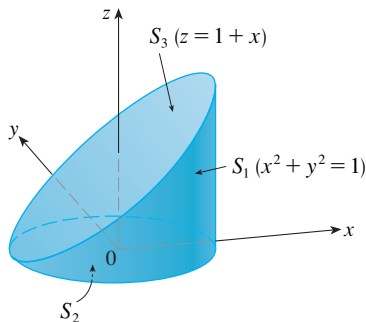


FIGURA 3

**EXEMPLO 3** Calcule  $\iint_S z \, dS$ , onde  $S$  é a superfície cujo lado  $S_1$  é dado pelo cilindro  $x^2 + y^2 = 1$ , cujo fundo  $S_2$  é o círculo  $x^2 + y^2 \leq 1$  no plano  $z = 0$ , e cujo topo  $S_3$  é a parte do plano  $z = 1 + x$  que está acima de  $S_2$ .

**SOLUÇÃO** A superfície  $S$  é mostrada na Figura 3 (trocamos a posição usual dos eixos para enxergar melhor  $S$ ). Para  $S_1$ , usamos como parâmetros  $\theta$  e  $z$  (veja o Exemplo 5 da Seção 16.6) e escrevemos suas equações parametrizadas como

$$x = \cos \theta \quad y = \sin \theta \quad z = z$$

onde  $0 \leq \theta \leq 2\pi$  e  $0 \leq z \leq 1 + x = 1 + \cos \theta$

Portanto,

$$\mathbf{r}_\theta \times \mathbf{r}_z = \begin{vmatrix} \mathbf{i} & \mathbf{j} & \mathbf{k} \\ -\sin \theta & \cos \theta & 0 \\ 0 & 0 & 1 \end{vmatrix} = \cos \theta \, \mathbf{i} + \sin \theta \, \mathbf{j}$$

e  $|\mathbf{r}_\theta \times \mathbf{r}_z| = \sqrt{\cos^2 \theta + \sin^2 \theta} = 1$

Então, a integral de superfície em  $S_1$  é

$$\begin{aligned} \iint_{S_1} z \, dS &= \iint_D z |\mathbf{r}_\theta \times \mathbf{r}_z| \, dA \\ &= \int_0^{2\pi} \int_0^{1+\cos \theta} z \, dz \, d\theta = \int_0^{2\pi} \frac{1}{2} (1 + \cos \theta)^2 \, d\theta \\ &= \frac{1}{2} \int_0^{2\pi} [1 + 2 \cos \theta + \frac{1}{2}(1 + \cos 2\theta)] \, d\theta \\ &= \frac{1}{2} \left[ \frac{3}{2} \theta + 2 \sin \theta + \frac{1}{4} \sin 2\theta \right]_0^{2\pi} = \frac{3\pi}{2} \end{aligned}$$

Como  $S_2$  está no plano  $z = 0$ , temos

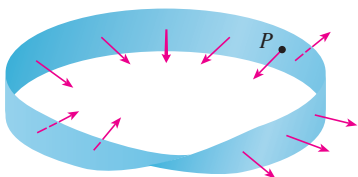
$$\iint_{S_2} z \, dS = \iint_{S_2} 0 \, dS = 0$$

A superfície superior  $S_3$  se encontra acima do disco  $D$  e faz parte do plano  $z = 1 + x$ . Assim, tomando  $g(x, y) = 1 + x$  na Fórmula 4 e convertendo para coordenadas polares, temos

$$\begin{aligned} \iint_{S_3} z \, dS &= \iint_D (1 + x) \sqrt{1 + \left(\frac{\partial z}{\partial x}\right)^2 + \left(\frac{\partial z}{\partial y}\right)^2} \, dA \\ &= \int_0^{2\pi} \int_0^1 (1 + r \cos \theta) \sqrt{1 + 1 + 0} \, r \, dr \, d\theta \\ &= \sqrt{2} \int_0^{2\pi} \int_0^1 (r + r^2 \cos \theta) \, dr \, d\theta \\ &= \sqrt{2} \int_0^{2\pi} \left( \frac{1}{2} + \frac{1}{3} \cos \theta \right) \, d\theta \\ &= \sqrt{2} \left[ \frac{\theta}{2} + \frac{\sin \theta}{3} \right]_0^{2\pi} = \sqrt{2} \pi \end{aligned}$$

Portanto,

$$\begin{aligned} \iint_S z \, dS &= \iint_{S_1} z \, dS + \iint_{S_2} z \, dS + \iint_{S_3} z \, dS \\ &= \frac{3\pi}{2} + 0 + \sqrt{2} \pi = \left( \frac{3}{2} + \sqrt{2} \right) \pi \end{aligned}$$

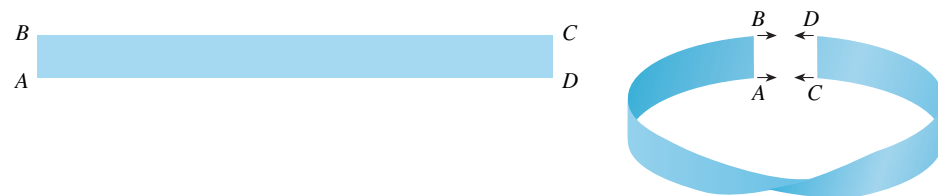


**FIGURA 4**  
Uma faixa de Möbius

### Superfícies Orientadas

Para definir integrais de superfície de campos vetoriais, precisamos descartar superfícies não orientáveis tais como a faixa de Möbius mostrado na Figura 4. [Nomeado assim por causa do geômetra alemão August Möbius (1790–1868).] Você pode construir uma tomando uma faixa retangular longa de papel, dando-lhe uma meia-torção e juntando as arestas curtas,

como na Figura 5. Se uma formiga andasse sobre uma faixa de Möbius começando no ponto  $P$ , ela acabaria do “outro lado” da faixa (ou seja, com sua parte de cima apontando para o sentido oposto). Então, se a formiga continuasse a andar na mesma direção, ela acabaria de volta no mesmo ponto  $P$  sem ter nunca cruzado uma aresta (se você construiu uma faixa de Möbius, tente desenhar uma linha a lápis pelo meio). Portanto, uma fita de Möbius realmente tem apenas um lado. Você pode traçar a faixa de Möbius usando as equações parametrizadas no Exercício 32 da Seção 16.6.



**TEC** Visual 16.7 mostra uma faixa de Möbius com um vetor normal que pode ser movido ao longo da superfície.

FIGURA 5

Construção de uma faixa de Möbius

Daqui para a frente consideraremos somente as superfícies orientáveis (com dois lados). Começaremos com uma superfície  $S$  que tenha um plano tangente em todos os pontos  $(x, y, z)$  em  $S$  (exceto nos pontos da fronteira). Existem dois vetores normais unitários  $\mathbf{n}_1$  e  $\mathbf{n}_2 = -\mathbf{n}_1$  em  $(x, y, z)$  (veja a Figura 6).

Se for possível escolher um vetor normal  $\mathbf{n}$  em cada ponto  $(x, y, z)$  de modo que  $\mathbf{n}$  varie continuamente sobre  $S$ , então  $S$  é chamada **superfície orientada** e a escolha dada de  $\mathbf{n}$  fornece  $S$  com uma **orientação**. Existem duas possíveis orientações para qualquer superfície orientada (veja a Figura 7).

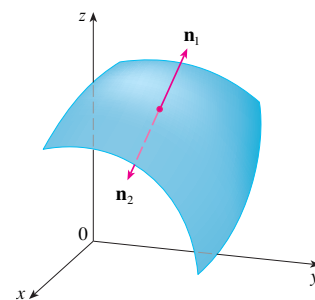


FIGURA 6

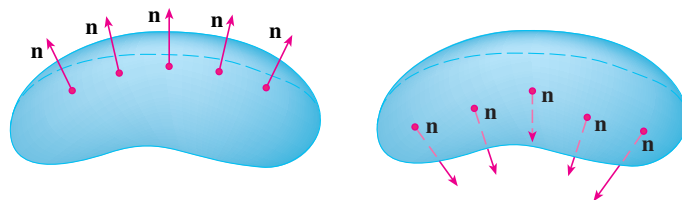


FIGURA 7

As duas orientações de uma superfície orientável

Para uma superfície  $z = g(x, y)$  dada como o gráfico de  $g$ , usamos a Equação 3 e vemos que a orientação induzida é dada pelo vetor normal unitário

$$\mathbf{n} = \frac{-\frac{\partial g}{\partial x} \mathbf{i} - \frac{\partial g}{\partial y} \mathbf{j} + \mathbf{k}}{\sqrt{1 + \left(\frac{\partial g}{\partial x}\right)^2 + \left(\frac{\partial g}{\partial y}\right)^2}} \quad [5]$$

Como a componente na direção de  $\mathbf{k}$  é positiva, isso fornece a orientação ascendente da superfície.

Se  $S$  for uma superfície orientada suave dada na forma parametrizada pela equação vetorial  $\mathbf{r}(u, v)$ , então ela está automaticamente associada à orientação do vetor normal unitário.

$$\mathbf{n} = \frac{\mathbf{r}_u \times \mathbf{r}_v}{|\mathbf{r}_u \times \mathbf{r}_v|} \quad [6]$$

e a orientação oposta é dada por  $-\mathbf{n}$ . Por exemplo, no Exemplo 4 na Seção 16.6 nós encontramos a representação parametrizada

$$\mathbf{r}(\phi, \theta) = a \sin \phi \cos \theta \mathbf{i} + a \sin \phi \sin \theta \mathbf{j} + a \cos \phi \mathbf{k}$$

para a esfera  $x^2 + y^2 + z^2 = a^2$ . Então, no Exemplo 10 da Seção 16.6, encontramos que

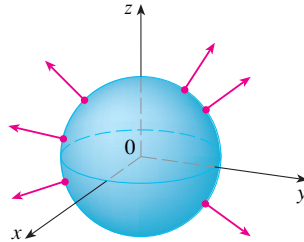
$$\mathbf{r}_\phi \times \mathbf{r}_\theta = a^2 \sin^2 \phi \cos \theta \mathbf{i} + a^2 \sin^2 \phi \sin \theta \mathbf{j} + a^2 \sin \phi \cos \phi \mathbf{k}$$

e 
$$|\mathbf{r}_\phi \times \mathbf{r}_\theta| = a^2 \sin \phi$$

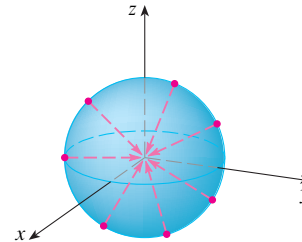
Assim, a orientação induzida por  $\mathbf{r}(\phi, \theta)$  é definida pelo vetor normal unitário

$$\mathbf{n} = \frac{\mathbf{r}_\phi \times \mathbf{r}_\theta}{|\mathbf{r}_\phi \times \mathbf{r}_\theta|} = \sin \phi \cos \theta \mathbf{i} + \sin \phi \sin \theta \mathbf{j} + \cos \phi \mathbf{k} = \frac{1}{a} \mathbf{r}(\phi, \theta)$$

Observe que  $\mathbf{n}$  aponta na mesma direção que o vetor posição, ou seja, para fora da esfera (veja a Figura 8). A orientação oposta (para dentro) poderia ser obtida (veja a Figura 9) se tivéssemos trocado a ordem dos parâmetros, porque  $\mathbf{r}_\theta \times \mathbf{r}_\phi = -\mathbf{r}_\phi \times \mathbf{r}_\theta$ .



**FIGURA 8**  
Orientação positiva



**FIGURA 9**  
Orientação negativa

Para uma **superfície fechada**, isto é, uma superfície que seja a fronteira de uma região sólida  $E$ , a convenção é que a **orientação positiva** é aquela para a qual os vetores normais *apontam para fora* de  $E$ , e os vetores normais que apontam para dentro correspondem à orientação negativa (veja as Figuras 8 e 9).

### Integrais de Superfície de Campos Vetoriais

Suponha que  $S$  seja uma superfície orientada com vetor unitário normal  $\mathbf{n}$ , e imagine um fluido com densidade  $\rho(x, y, z)$  e campo de velocidade  $\mathbf{v}(x, y, z)$  que flui através de  $S$ . (Pense em  $S$  como uma superfície imaginária que não impede o fluxo de fluido, tal como uma rede de pesca por um fluxo.) Em seguida, a taxa de fluxo (massa por unidade de tempo) por unidade de área é  $\rho \mathbf{v}$ . Se dividirmos  $S$  em pequenos retalhos  $S_{ij}$ , como na Figura 10 (compare com a Figura 1), então  $S_{ij}$  é aproximadamente plana, de modo que podemos aproximar a massa de fluido que passa por  $S_{ij}$  na direção da normal  $\mathbf{n}$  por unidade de tempo pela quantidade

$$(\rho \mathbf{v} \cdot \mathbf{n})A(S_{ij})$$

onde  $\rho$ ,  $\mathbf{v}$  e  $\mathbf{n}$  são avaliados em algum ponto em  $S_{ij}$ . (Recorde-se de que o componente do vetor de  $\rho \mathbf{v}$  na direção da unidade de vetor  $\mathbf{n}$  é  $\rho \mathbf{v} \cdot \mathbf{n}$ .) Somando essas quantidades e tomando o limite, obtemos, de acordo com a Definição 1, a integral de superfície da função  $\rho \mathbf{v} \cdot \mathbf{n}$  sobre  $S$ :

$$\boxed{7} \quad \iint_S \rho \mathbf{v} \cdot \mathbf{n} \, dS = \iint_S \rho(x, y, z) \mathbf{v}(x, y, z) \cdot \mathbf{n}(x, y, z) \, dS$$

e ela é interpretada fisicamente como a vazão através de  $S$ .

Se escrevermos  $\mathbf{F} = \rho \mathbf{v}$ , então  $\mathbf{F}$  também é um campo vetorial em  $\mathbb{R}^3$  e a integral da Equação 7 fica

$$\iint_S \mathbf{F} \cdot \mathbf{n} \, dS$$

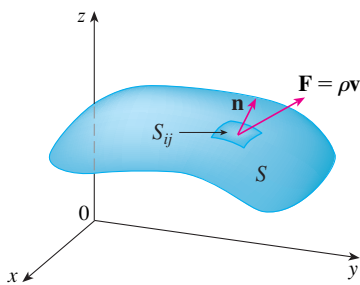
Uma integral de superfície dessa forma aparece frequentemente em física, mesmo quando  $\mathbf{F}$  não é  $\rho \mathbf{v}$ , e é denominada *integral de superfície* (ou *integral de fluxo*) de  $\mathbf{F}$  em  $S$ .

**8 Definição** Se  $\mathbf{F}$  for um campo vetorial contínuo definido sobre uma superfície orientada  $S$  com vetor normal unitário  $\mathbf{n}$ , então a **superfície integral de  $\mathbf{F}$  sobre  $S$**  é

$$\iint_S \mathbf{F} \cdot d\mathbf{S} = \iint_S \mathbf{F} \cdot \mathbf{n} \, dS$$

Essa integral é também chamada **fluxo** de  $\mathbf{F}$  através de  $S$ .

Em palavras, a Definição 8 diz que a integral de superfície de um campo vetorial sobre  $S$  é igual à integral de superfície de sua componente normal em  $S$  (como definido anteriormente).



**FIGURA 10**

Se  $S$  é uma função vetorial dada por  $\mathbf{r}(u, v)$ , então  $\mathbf{n}$  é dado pela Equação 6 da Definição 8 e, da Equação 2, temos

$$\begin{aligned}\iint_S \mathbf{F} \cdot d\mathbf{S} &= \iint_S \mathbf{F} \cdot \frac{\mathbf{r}_u \times \mathbf{r}_v}{|\mathbf{r}_u \times \mathbf{r}_v|} dS \\ &= \iint_D \left[ \mathbf{F}(\mathbf{r}(u, v)) \cdot \frac{\mathbf{r}_u \times \mathbf{r}_v}{|\mathbf{r}_u \times \mathbf{r}_v|} \right] |\mathbf{r}_u \times \mathbf{r}_v| dA\end{aligned}$$

onde  $D$  é o domínio dos parâmetros. Assim, temos

9

$$\iint_S \mathbf{F} \cdot d\mathbf{S} = \iint_D \mathbf{F} \cdot (\mathbf{r}_u \times \mathbf{r}_v) dA$$

**EXEMPLO 4** Determine o fluxo do campo vetorial  $\mathbf{F}(x, y, z) = z\mathbf{i} + y\mathbf{j} + x\mathbf{k}$  através da esfera unitária  $x^2 + y^2 + z^2 = 1$ .

**SOLUÇÃO** Como no Exemplo 1, utilizamos a representação parametrizada

$$\mathbf{r}(\phi, \theta) = \sin \phi \cos \theta \mathbf{i} + \sin \phi \sin \theta \mathbf{j} + \cos \phi \mathbf{k} \quad 0 \leq \phi \leq \pi \quad 0 \leq \theta \leq 2\pi$$

Então  $\mathbf{F}(\mathbf{r}(\phi, \theta)) = \cos \phi \mathbf{i} + \sin \phi \sin \theta \mathbf{j} + \sin \phi \cos \theta \mathbf{k}$   
e, do Exemplo 10 da Seção 16.6,

$$\mathbf{r}_\phi \times \mathbf{r}_\theta = \sin^2 \phi \cos \theta \mathbf{i} + \sin^2 \phi \sin \theta \mathbf{j} + \sin \phi \cos \phi \mathbf{k}$$

Portanto,

$$\mathbf{F}(\mathbf{r}(\phi, \theta)) \cdot (\mathbf{r}_\phi \times \mathbf{r}_\theta) = \cos \phi \sin^2 \phi \cos \theta + \sin^3 \phi \sin^2 \theta + \sin^2 \phi \cos \phi \cos \theta$$

e, pela Fórmula 9, o fluxo é

$$\begin{aligned}\iint_S \mathbf{F} \cdot d\mathbf{S} &= \iint_D \mathbf{F} \cdot (\mathbf{r}_\phi \times \mathbf{r}_\theta) dA \\ &= \int_0^{2\pi} \int_0^\pi (2 \sin^2 \phi \cos \phi \cos \theta + \sin^3 \phi \sin^2 \theta) d\phi d\theta \\ &= 2 \int_0^\pi \sin^2 \phi \cos \phi d\phi \int_0^{2\pi} \cos \theta d\theta + \int_0^\pi \sin^3 \phi d\phi \int_0^{2\pi} \sin^2 \theta d\theta \\ &= 0 + \int_0^\pi \sin^3 \phi d\phi \int_0^{2\pi} \sin^2 \theta d\theta \quad \left( \text{uma vez que } \int_0^{2\pi} \cos \theta d\theta = 0 \right) \\ &= \frac{4\pi}{3}\end{aligned}$$

pelos mesmos cálculos que no Exemplo 1.

Se, por exemplo, o campo vetorial do Exemplo 4 é um campo de velocidade descrevendo o escoamento de um fluido de densidade 1, então a resposta  $4\pi/3$  representa a vazão através da esfera unitária em unidade de massa por unidade de tempo.

No caso de uma superfície  $S$  dada por um gráfico  $z = g(x, y)$ , podemos considerar  $x$  e  $y$  como parâmetros e usar a Equação 3 para escrever

$$\mathbf{F} \cdot (\mathbf{r}_x \times \mathbf{r}_y) = (P\mathbf{i} + Q\mathbf{j} + R\mathbf{k}) \cdot \left( -\frac{\partial g}{\partial x} \mathbf{i} - \frac{\partial g}{\partial y} \mathbf{j} + \mathbf{k} \right)$$

Logo, a Fórmula 9 se torna

10

$$\iint_S \mathbf{F} \cdot d\mathbf{S} = \iint_D \left( -P \frac{\partial g}{\partial x} - Q \frac{\partial g}{\partial y} + R \right) dA$$

Compare a Equação 9 com a expressão análoga para o cálculo da integral de linha de campos vetoriais da Definição 16.2.13:

$$\int_C \mathbf{F} \cdot d\mathbf{r} = \int_a^b \mathbf{F}(\mathbf{r}(t)) \cdot \mathbf{r}'(t) dt$$

A Figura 11 mostra o campo vetorial  $\mathbf{F}$  do Exemplo 4 em pontos da esfera unitária

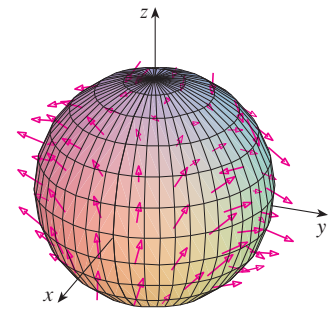


FIGURA 11

Esta fórmula pressupõe uma orientação ascendente de  $S$ ; para uma orientação descendente, multiplicamos por  $-1$ . Fórmulas semelhantes podem ser trabalhadas se  $S$  é dada por  $y = h(x, z)$  ou  $x = k(y, z)$ . (Veja os Exercícios 37 e 38.)

**EXEMPLO 5** Calcule  $\iint_S \mathbf{F} \cdot d\mathbf{S}$ , onde  $\mathbf{F}(x, y, z) = y\mathbf{i} + x\mathbf{j} + z\mathbf{k}$  e  $S$  é o limite da região sólida  $E$  delimitada pelo parabolóide  $z = 1 - x^2 - y^2$  e o plano  $z = 0$ .

**SOLUÇÃO** A superfície  $S$  é constituída pela superfície parabólica superior  $S_1$  e pela superfície circular do fundo  $S_2$  (veja a Figura 12). Como  $S$  é uma superfície fechada, usamos a convenção de orientação positiva (para fora). Isso significa que  $S_1$  é orientada para cima e podemos usar a Equação 10 com  $D$  sendo a projeção de  $S_1$  sobre o plano  $xy$ , ou seja, o círculo  $x^2 + y^2 \leq 1$ . Como

$$P(x, y, z) = y \quad Q(x, y, z) = x \quad R(x, y, z) = z = 1 - x^2 - y^2$$

sobre  $S_1$  e

$$\frac{\partial g}{\partial x} = -2x \quad \frac{\partial g}{\partial y} = -2y$$

temos

$$\begin{aligned} \iint_{S_1} \mathbf{F} \cdot d\mathbf{S} &= \iint_D \left( -P \frac{\partial g}{\partial x} - Q \frac{\partial g}{\partial y} + R \right) dA \\ &= \iint_D [-y(-2x) - x(-2y) + 1 - x^2 - y^2] dA \\ &= \iint_D (1 + 4xy - x^2 - y^2) dA \\ &= \int_0^{2\pi} \int_0^1 (1 + 4r^2 \cos \theta \sin \theta - r^2) r \, dr \, d\theta \\ &= \int_0^{2\pi} \int_0^1 (r - r^3 + 4r^3 \cos \theta \sin \theta) \, dr \, d\theta \\ &= \int_0^{2\pi} \left( \frac{1}{4} + \cos \theta \sin \theta \right) d\theta = \frac{1}{4}(2\pi) + 0 = \frac{\pi}{2} \end{aligned}$$

O disco  $S_2$  é orientado para baixo, então seu vetor normal unitário é  $\mathbf{n} = -\mathbf{k}$  e temos

$$\iint_{S_2} \mathbf{F} \cdot d\mathbf{S} = \iint_{S_2} \mathbf{F} \cdot (-\mathbf{k}) \, dS = \iint_D (-z) \, dA = \iint_D 0 \, dA = 0$$

uma vez que  $z = 0$  em  $S_2$ . Finalmente, calculamos, pela definição,  $\iint_S \mathbf{F} \cdot d\mathbf{S}$  como a soma das integrais de superfície de  $\mathbf{F}$  sobre as partes  $S_1$  e  $S_2$ :

$$\iint_S \mathbf{F} \cdot d\mathbf{S} = \iint_{S_1} \mathbf{F} \cdot d\mathbf{S} + \iint_{S_2} \mathbf{F} \cdot d\mathbf{S} = \frac{\pi}{2} + 0 = \frac{\pi}{2}$$

Embora tenhamos exemplificado a integral de superfície de um campo de vetores com seu uso em mecânica dos fluidos, esse conceito também aparece em outras situações físicas. Por exemplo, se  $\mathbf{E}$  é um campo elétrico (veja o Exemplo 5 da Seção 16.1), então a integral de superfície

$$\iint_S \mathbf{E} \cdot d\mathbf{S}$$

chama-se a **fluxo elétrico** de  $\mathbf{E}$  através da superfície  $S$ . Uma importante lei de eletrostática é a **Lei de Gauss**, que diz que a carga total englobada por uma superfície  $S$  é

$$\boxed{11} \quad Q = \varepsilon_0 \iint_S \mathbf{E} \cdot d\mathbf{S}$$

onde  $\varepsilon_0$  é uma constante (denominada permissividade no vácuo) que depende das unidades usadas (no sistema SI,  $\varepsilon_0 \approx 8,8542 \times 10^{-12} \text{ C}^2/\text{N} \cdot \text{m}^2$ ). Portanto, se o campo vetorial  $\mathbf{F}$  do Exemplo 4 representa um campo elétrico, podemos concluir que a carga envolvida por  $S$  é  $Q = \frac{4}{3}\pi \varepsilon_0$ .

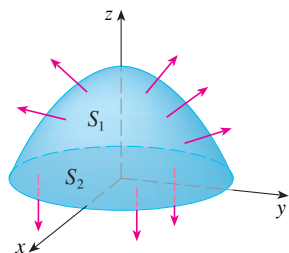


FIGURA 12



Outra aplicação de integrais de superfície ocorre no estudo de fluxo de calor. Suponha que a temperatura em um ponto  $(x, y, z)$  em um corpo seja  $u(x, y, z)$ . Então, o **fluxo de calor** é definido como o campo vetorial

$$\mathbf{F} = -K \nabla u$$

onde  $K$  é uma constante determinada experimentalmente, chamada **condutividade** da substância. A taxa de transmissão de calor através da superfície  $S$  no corpo é então dada pela integral de superfície

$$\iint_S \mathbf{F} \cdot d\mathbf{S} = -K \iint_S \nabla u \cdot d\mathbf{S}$$

**EXEMPLO 6** A temperatura  $u$  em uma bola metálica é proporcional ao quadrado da distância do centro da bola. Determine a taxa de transmissão de calor através de uma esfera  $S$  de raio  $a$  e centro no centro da bola.

**SOLUÇÃO** Tomando o centro da bola como origem, temos

$$u(x, y, z) = C(x^2 + y^2 + z^2)$$

onde  $C$  é a constante de proporcionalidade. Então o fluxo de calor é

$$\mathbf{F}(x, y, z) = -K \nabla u = -KC(2x \mathbf{i} + 2y \mathbf{j} + 2z \mathbf{k})$$

onde  $K$  é a condutividade do metal. Em vez de usar a parametrização usual da esfera dada no Exemplo 4, observamos que o vetor normal à esfera  $x^2 + y^2 + z^2 = a^2$  que aponta para fora no ponto  $(x, y, z)$  é

$$\mathbf{n} = \frac{1}{a}(x \mathbf{i} + y \mathbf{j} + z \mathbf{k})$$

e assim

$$\mathbf{F} \cdot \mathbf{n} = -\frac{2KC}{a}(x^2 + y^2 + z^2)$$

Mas, sobre  $S$  temos  $x^2 + y^2 + z^2 = a^2$ , então  $\mathbf{F} \cdot \mathbf{n} = -2aKC$ . Portanto, a taxa de transmissão de calor através de  $S$  é

$$\begin{aligned} \iint_S \mathbf{F} \cdot d\mathbf{S} &= \iint_S \mathbf{F} \cdot \mathbf{n} dS = -2aKC \iint_S dS \\ &= -2aKCA(S) = -2aKC(4\pi a^2) = -8KC\pi a^3 \end{aligned}$$

## 16.7 Exercícios

- Seja  $S$  a superfície que é fronteira da caixa delimitada pelos planos  $x = 0$ ,  $x = 2$ ,  $y = 0$ ,  $y = 4$ ,  $z = 0$  e  $z = 6$ . Aproxime  $\iint_S e^{-0.1(x+y+z)} dS$  usando uma soma de Riemann, como na Definição 1, tomando os retalhos  $S_{ij}$  como os retângulos que são as faces da caixa  $S$  e os pontos  $P_{ij}^*$  como os centros destes retângulos.
- Uma superfície  $S$  é formada pelo cilindro  $x^2 + y^2 = 1$ ,  $-1 \leq z \leq 1$ , e por círculos no fundo e no topo. Suponha que você saiba que  $f$  é uma função contínua com  $f(\pm 1, 0, 0) = 2$ ,  $f(0, \pm 1, 0) = 3$ ,  $f(0, 0, \pm 1) = 4$ . Estime o valor de  $\iint_S f(x, y, z) dS$  usando a soma de Riemann, tomando como retalhos  $S_{ij}$  os círculos do fundo e do topo e a lateral dividida em quatro partes.
- Seja  $H$  o hemisfério  $x^2 + y^2 + z^2 = 50$ ,  $z \geq 0$ , e suponha que  $f$  seja uma função contínua com  $f(3, 4, 5) = 7$ ,  $f(3, -4, 5) = 8$ ,  $f(-3, 4, 5) = 9$  e  $f(-3, -4, 5) = 12$ . Ao dividir  $H$  em quatro partes, estime o valor de  $\iint_H f(x, y, z) dS$ .
- Suponha que  $f(x, y, z) = g(\sqrt{x^2 + y^2 + z^2})$ , onde  $g$  é uma função de uma variável tal que  $g(2) = -5$ . Calcule  $\iint_S f(x, y, z) dS$ , onde  $S$  é a esfera  $x^2 + y^2 + z^2 = 4$ .

**5–20** Calcule a integral de superfície.

- $\iint_S (x + y + z) dS$ ,  
 $S$  é o paralelogramo com equações paramétricas  $x = u + v$ ,  $y = u - v$ ,  $z = 1 + 2u + v$ ,  $0 \leq u \leq 2$ ,  $0 \leq v \leq 1$
- $\iint_S xyz dS$ ,  
 $S$  é o cone com equações paramétricas  $x = u \cos v$ ,  $y = u \sin v$ ,  $z = u$ ,  $0 \leq u \leq 1$ ,  $0 \leq v \leq \pi/2$
- $\iint_S y dS$ ,  $S$  é o helicóide com equação vetorial  $\mathbf{r}(u, v) = \langle u \cos v, u \sin v, v \rangle$ ,  $0 \leq u \leq 1$ ,  $0 \leq v \leq \pi$
- $\iint_S (x^2 + y^2) dS$ ,  
 $S$  é o superfície com equação vetorial  $\mathbf{r}(u, v) = \langle 2uv, u^2 - v^2, u^2 + v^2 \rangle$ ,  $u^2 + v^2 \leq 1$
- $\iint_S x^2 yz dS$ ,  
 $S$  é a parte do plano  $z = 1 + 2x + 3y$  que está acima do retângulo  $[0, 3] \times [0, 2]$
- $\iint_S xz dS$ ,  
 $S$  é a parte do plano  $2x + 2y + z = 4$  que está no primeiro octante

11.  $\iint_S x \, dS$ ,  
 $S$  é a região triangular com vértices  $(1, 0, 0)$ ,  $(0, -2, 0)$  e  $(0, 0, 4)$
12.  $\iint_S y \, dS$ ,  
 $S$  é a superfície  $z = \frac{2}{3}(x^{3/2} + y^{3/2})$ ,  $0 \leq x \leq 1$ ,  $0 \leq y \leq 1$
13.  $\iint_S x^2 z^2 \, dS$ ,  
 $S$  é a parte do cone  $z^2 = x^2 + y^2$  que está entre os planos  $z = 1$  e  $z = 3$
14.  $\iint_S z \, dS$ ,  
 $S$  é a superfície  $x = y + 2z^2$ ,  $0 \leq y \leq 1$ ,  $0 \leq z \leq 1$
15.  $\iint_S y \, dS$ ,  
 $S$  é a parte do parabolóide  $y = x^2 + z^2$  que está dentro do cilindro  $x^2 + z^2 = 4$
16.  $\iint_S y^2 \, dS$ ,  
 $S$  é a parte da esfera  $x^2 + y^2 + z^2 = 4$  que está dentro do cilindro  $x^2 + y^2 = 1$  e acima do plano  $xy$
17.  $\iint_S (x^2 z + y^2 z) \, dS$ ,  
 $S$  é o hemisfério  $x^2 + y^2 + z^2 = 4$ ,  $z \geq 0$
18.  $\iint_S xz \, dS$ ,  
 $S$  é o limite da região delimitada pelo cilindro  $y^2 + z^2 = 9$  e pelos planos  $x = 0$  e  $x = 5$
19.  $\iint_S (z + x^2 y) \, dS$ ,  
 $S$  é a parte do cilindro  $y^2 + z^2 = 1$  que está entre os planos  $x = 0$  e  $x = 3$  no primeiro octante
20.  $\iint_S (x^2 + y^2 + z^2) \, dS$ ,  
 $S$  é a parte do cilindro  $x^2 + y^2 = 9$  entre os planos  $z = 0$  e  $z = 2$ , juntamente com os discos inferior e superior
- 
- 21–32 Avalie a integral de superfície  $\iint_S \mathbf{F} \cdot d\mathbf{S}$  para o campo vetorial dado  $\mathbf{F}$  e a superfície orientada  $S$ . Em outras palavras, localize o fluxo de  $\mathbf{F}$  através de  $S$ . Para superfícies fechadas, use a orientação (para o exterior) positiva.
21.  $\mathbf{F}(x, y, z) = ze^{xy} \mathbf{i} - 3ze^{xy} \mathbf{j} + xy \mathbf{k}$ ,  
 $S$  é o paralelogramo do Exercício 5 com orientação ascendente.
22.  $\mathbf{F}(x, y, z) = z \mathbf{i} + y \mathbf{j} + x \mathbf{k}$ ,  
 $S$  é o helicóide do Exercício 7 com orientação ascendente.
23.  $\mathbf{F}(x, y, z) = xy \mathbf{i} + yz \mathbf{j} + zx \mathbf{k}$ ,  
 $S$  é a parte do parabolóide  $z = 4 - x^2 - y^2$  que está acima do quadrado  $0 \leq x \leq 1$ ,  $0 \leq y \leq 1$ , e com orientação ascendente.
24.  $\mathbf{F}(x, y, z) = -x \mathbf{i} - y \mathbf{j} + z^3 \mathbf{k}$ ,  
 $S$  é a parte do cone  $z = \sqrt{x^2 + y^2}$  que está entre os planos  $z = 1$  e  $z = 3$  com orientação descendente
25.  $\mathbf{F}(x, y, z) = x \mathbf{i} - z \mathbf{j} + y \mathbf{k}$ ,  
 $S$  é parte da esfera  $x^2 + y^2 + z^2 = 4$  no primeiro octante, com orientação para a origem
26.  $\mathbf{F}(x, y, z) = xz \mathbf{i} + x \mathbf{j} + y \mathbf{k}$ ,  
 $S$  é o hemisfério  $x^2 + y^2 + z^2 = 25$ ,  $y \geq 0$ , orientado na direção do eixo positivo  $y$
27.  $\mathbf{F}(x, y, z) = y \mathbf{j} - z \mathbf{k}$ ,  
 $S$  é formada pelo parabolóide  $y = x^2 + z^2$ ,  $0 \leq y \leq 1$ , e pelo disco  $x^2 + z^2 \leq 1$ ,  $y = 1$

28.  $\mathbf{F}(x, y, z) = xy \mathbf{i} + 4x^2 \mathbf{j} + yz \mathbf{k}$ ,  
 $S$  é a superfície  $z = xe^y$ ,  $0 \leq x \leq 1$ ,  $0 \leq y \leq 1$ , com orientação ascendente
29.  $\mathbf{F}(x, y, z) = x \mathbf{i} + 2y \mathbf{j} + 3z \mathbf{k}$ ,  
 $S$  é o cubo com vértices  $(\pm 1, \pm 1, \pm 1)$
30.  $\mathbf{F}(x, y, z) = x \mathbf{i} + y \mathbf{j} + 5 \mathbf{k}$ ,  
 $S$  é o limite da região delimitada pelo cilindro  $x^2 + z^2 = 1$  e pelos planos  $y = 0$  e  $x + y = 2$
31.  $\mathbf{F}(x, y, z) = x^2 \mathbf{i} + y^2 \mathbf{j} + z^2 \mathbf{k}$ ,  
 $S$  é o limite do semicilindro sólido  $0 \leq z \leq \sqrt{1 - y^2}$ ,  $0 \leq x \leq 2$
32.  $\mathbf{F}(x, y, z) = y \mathbf{i} + (z - y) \mathbf{j} + x \mathbf{k}$ ,  
 $S$  é a superfície do tetraedro com vértices  $(0, 0, 0)$ ,  $(1, 0, 0)$ ,  $(0, 1, 0)$  e  $(0, 0, 1)$
- 
- SCA 33. Calcule  $\iint_S (x^2 + y^2 + z^2) \, dS$  com precisão de quatro casas decimais, quando  $S$  é a superfície  $z = xe^y$ ,  $0 \leq x \leq 1$ ,  $0 \leq y \leq 1$
- SCA 34. Determine o valor exato de  $\iint_S x^2 yz \, dS$ , onde  $S$  é a superfície  $z = xy$ ,  $0 \leq x \leq 1$ ,  $0 \leq y \leq 1$
- SCA 35. Determine o valor de  $\iint_S x^2 y^2 z^2 \, dS$  correto até a quarta casa decimal, onde  $S$  é a parte do parabolóide  $z = 3 - 2x^2 - y^2$  que está acima do plano  $xy$ .
- SCA 36. Determine o fluxo de  
 $\mathbf{F}(x, y, z) = \sin(xyz) \mathbf{i} + x^2 y \mathbf{j} + z^2 e^{x/5} \mathbf{k}$   
 através da parte do cilindro  $4y^2 + z^2 = 4$  que está acima do plano  $xy$  e entre os planos  $x = -2$  e  $x = 2$  com orientação ascendente. Ilustre, usando um sistema de computação algébrica para desenhar o cilindro e o campo vetorial na mesma tela.
37. Determine uma fórmula para  $\iint_S \mathbf{F} \cdot d\mathbf{S}$  semelhante à Fórmula 10 para o caso onde  $S$  é dada por  $y = h(x, z)$  e  $\mathbf{n}$  é o vetor normal unitário que aponta para a esquerda.
38. Determine uma fórmula para  $\iint_S \mathbf{F} \cdot d\mathbf{S}$  semelhante à Fórmula 10 para o caso onde  $S$  é dada por  $x = k(y, z)$  e  $\mathbf{n}$  é o vetor normal unitário que aponta para a frente (ou seja, para o observador, quando os eixos estão desenhados na posição usual).
39. Determine o centro de massa do hemisfério  $x^2 + y^2 + z^2 = a^2$ ,  $z \geq 0$ , se ele tiver densidade constante.
40. Determine a massa de um funil fino com o formato do cone  $z = \sqrt{x^2 + y^2}$ ,  $1 \leq z \leq 4$ , se sua função densidade é  $\rho(x, y, z) = 10 - z$ .
41. (a) Dê uma expressão integral para o momento de inércia  $I_z$  em torno do eixo  $z$  de uma folha fina no formato da superfície  $S$  se a função densidade é  $\rho$ .  
 (b) Determine o momento de inércia em torno do eixo  $z$  do funil do Exercício 40.
42. Seja  $S$  a parte da esfera  $x^2 + y^2 + z^2 = 25$  que está acima do plano  $z = 4$ . Se  $S$  tem densidade constante  $k$ , determine (a) o centro da massa e (b) o momento de inércia em torno do eixo  $z$ .
43. Um fluido tem densidade  $870 \text{ kg/m}^3$  e escoia com velocidade  $\mathbf{v} = z \mathbf{i} + y^2 \mathbf{j} + x^2 \mathbf{k}$ , onde  $x$ ,  $y$  e  $z$  são medidos em metros e as componentes de  $\mathbf{v}$ , em metros por segundo. Encontre a taxa de vazão para fora do cilindro  $x^2 + y^2 = 4$ ,  $0 \leq z \leq 1$ .
44. A água do mar tem densidade  $1.025 \text{ kg/m}^3$  e flui em um campo de velocidade  $\mathbf{v} = y \mathbf{i} + x \mathbf{j}$ , onde  $x$ ,  $y$  e  $z$  são medidos em me-

tros e as componentes de  $\mathbf{v}$ , em metros por segundo. Encontre a taxa de vazão para fora do hemisfério  $x^2 + y^2 + z^2 = 9$ ,  $z \geq 0$ .

45. Use a Lei de Gauss para achar a carga contida no hemisfério sólido  $x^2 + y^2 + z^2 \leq a^2$ ,  $z \geq 0$ , se o campo elétrico for

$$\mathbf{E}(x, y, z) = x \mathbf{i} + y \mathbf{j} + 2z \mathbf{k}.$$

46. Use a Lei de Gauss para achar a carga dentro de um cubo com vértices  $(\pm 1, \pm 1, \pm 1)$  se o campo elétrico for

$$\mathbf{E}(x, y, z) = x \mathbf{i} + y \mathbf{j} + z \mathbf{k}.$$

47. A temperatura no ponto  $(x, y, z)$  em uma substância com uma condutividade  $K = 6,5$  é  $u(x, y, z) = 2y^2 + 2z^2$ . Determine a taxa

de transmissão de calor nessa substância para dentro superfície cilíndrica  $y^2 + z^2 = 6$ ,  $0 \leq x \leq 4$ .

48. A temperatura em um ponto de uma bola com condutividade  $K$  é inversamente proporcional à distância do centro da bola. Determine a taxa de transmissão de calor através de uma esfera  $S$  de raio  $a$  e centro no centro da bola.

49. Seja  $\mathbf{F}$  um campo inverso do quadrado, ou seja,  $\mathbf{F}(\mathbf{r}) = c\mathbf{r}/|\mathbf{r}|^3$  para alguma constante  $c$ , onde  $\mathbf{r} = x \mathbf{i} + y \mathbf{j} + z \mathbf{k}$ . Mostre que o fluxo de  $\mathbf{F}$  através de uma esfera  $S$  com o centro de origem é independente do raio de  $S$ .

## 16.8 Teorema de Stokes

O Teorema de Stokes pode ser visto como uma versão em dimensão maior do Teorema de Green. Enquanto o Teorema de Green relaciona uma integral dupla sobre uma região plana  $D$  com uma integral de linha em torno de sua curva limite plana, o Teorema de Stokes relaciona uma integral de superfície sobre uma superfície  $S$  com uma integral em torno da curva da fronteira  $S$  (que é uma curva no espaço). A Figura 1 mostra uma superfície orientada com vetor normal unitário  $\mathbf{n}$ . A orientação de  $S$  induz a **orientação positiva da curva fronteira**  $C$  mostrada na figura. Isso significa que, se você andar na direção positiva ao redor da curva  $C$  com sua cabeça na direção e sentido de  $\mathbf{n}$ , então a superfície estará sempre à sua esquerda.

**Teorema de Stokes** Seja  $S$  uma superfície orientada, suave por partes, cuja fronteira é formada por uma curva  $C$  fechada, simples, suave por partes, com orientação positiva. Seja  $\mathbf{F}$  um campo vetorial cujas componentes têm derivadas parciais contínuas em uma região aberta de  $\mathbb{R}^3$  que contém  $S$ . Então

$$\int_C \mathbf{F} \cdot d\mathbf{r} = \iint_S \text{curl } \mathbf{F} \cdot d\mathbf{S}$$

Como

$$\int_C \mathbf{F} \cdot d\mathbf{r} = \int_C \mathbf{F} \cdot \mathbf{T} \, ds \quad \text{e} \quad \iint_S \text{curl } \mathbf{F} \cdot d\mathbf{S} = \iint_S \text{curl } \mathbf{F} \cdot \mathbf{n} \, dS$$

o Teorema de Stokes nos diz que a integral de linha em torno da curva fronteira de  $S$  da componente tangencial de  $\mathbf{F}$  é igual à integral de superfície sobre  $S$  da componente normal do rotacional de  $\mathbf{F}$ .

A curva na fronteira orientada positivamente da superfície orientada  $S$  é com frequência denotada por  $\partial S$ , de modo que o Teorema de Stokes pode ser escrito como

$$\boxed{1} \quad \iint_S \text{curl } \mathbf{F} \cdot d\mathbf{S} = \int_{\partial S} \mathbf{F} \cdot d\mathbf{r}$$

Existe uma analogia entre o Teorema de Stokes, o de Green e o Teorema Fundamental do Cálculo. Como anteriormente, existe uma integral envolvendo derivadas do lado esquerdo da Equação 1 (lembre-se de que  $\text{rot } \mathbf{F}$  é uma espécie de derivada de  $\mathbf{F}$ ) e do lado direito, envolvendo valores de  $\mathbf{F}$  calculados somente na *fronteira* de  $S$ .

De fato, no caso especial em que a superfície  $S$  é plana e pertence ao plano  $xy$ , com orientação ascendente, o vetor normal unitário é  $\mathbf{k}$ , a integral de superfície se transforma em uma integral dupla, e o Teorema de Stokes fica

$$\int_C \mathbf{F} \cdot d\mathbf{r} = \iint_S \text{curl } \mathbf{F} \cdot d\mathbf{S} = \iint_S (\text{curl } \mathbf{F}) \cdot \mathbf{k} \, dA$$

Essa é precisamente a forma vetorial do Teorema de Green dada na Equação 16.5.12. Assim, vemos que o Teorema de Green é realmente um caso especial do Teorema de Stokes.

Apesar de o Teorema de Stokes ser muito difícil de demonstrar no caso geral, podemos fazer uma demonstração quando  $S$  for um gráfico e  $\mathbf{F}$ ,  $S$  e  $C$  forem bem comportados.

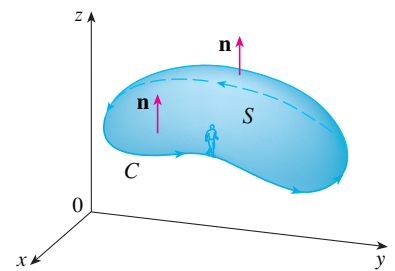


FIGURA 1

### George Stokes

O Teorema de Stokes tem seu nome em homenagem ao físico matemático irlandês sir George Stokes (1819-1903). Stokes era professor na Universidade de Cambridge (ele detinha a mesma cadeira de Newton, Lucasian Professor of Mathematics) e se sobressaiu por seus estudos sobre vazão de fluidos e luz. O teorema que hoje chamamos Teorema de Stokes foi, na verdade, descoberto pelo físico escocês sir William Thomson (1824-1907, conhecido como lorde Kelvin). Stokes soube desse teorema por uma carta de Thomson em 1850 e pediu a seus estudantes que o demonstrassem em um exame em Cambridge, em 1854. Não se sabe se algum de seus estudantes foi capaz de fazê-lo.